

Eingabe: Farbmétrisches Offset-Reflektiv-System ORS18

für Buntton $h^* = lab \cdot h = 38/360 = 0.106$ $lab \cdot tch$ und $lab \cdot nch$

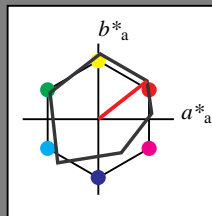
D65: Buntton O

LCH*Ma: 48 82 38

olv*Ma: 1.0 0.0 0.0

ORS18; adaptierte CIELAB-Daten

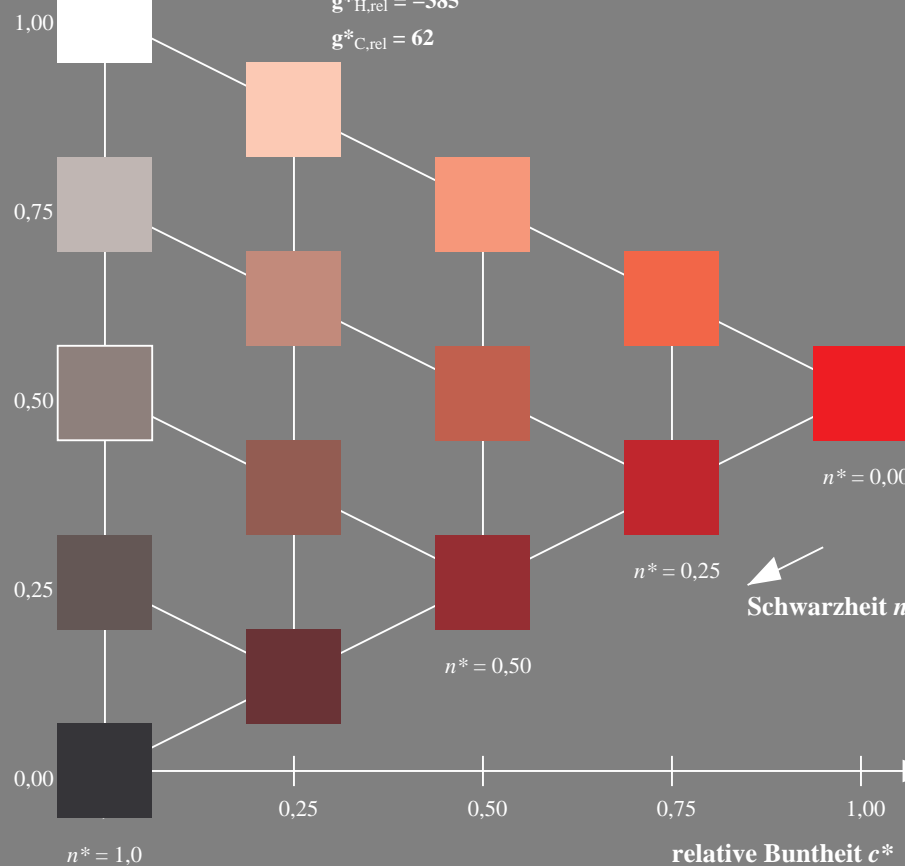
	$L^*=L^*_a$	a^*_a	b^*_a	$C^*_{ab,a}$	$h^*_{ab,a}$
O _m	47.94	64.42	50.58	81.9	38
Y _m	92.62	2.41	86.36	86.39	88
L _m	50.9	-63.82	35.02	72.81	151
C _m	51.25	-53.68	-57.69	78.82	227
V _m	25.72	30.34	-44.37	53.76	304
M _m	56.25	70.59	7.57	70.99	6
N _m	18.11	0.0	0.0	0.0	0
W _m	95.6	0.0	0.0	0.0	0
R _{CIE}	47.79	60.85	41.08	73.41	34
J _{CIE}	83.82	6.52	66.9	67.22	84
G _{CIE}	49.0	-36.83	2.78	36.95	176
B _{CIE}	25.14	-18.35	-56.22	59.15	252

Dreiecks-Helligkeit t^*

%Umfang

 $u^*_{rel} = 96$

%Regularität

 $g^*_{H,rel} = -385$ $g^*_{C,rel} = 62$ 

SG200-7, 5 stufige Reihen für konstanten CIELAB Buntton 38/360 = 0.106 (links)

BAM-Prüfvorlage SG20; Farbmétrik-Systeme ORS18 & ORS18 input: *cmY0* setcmykcolor*

A: Koordinatensysteme; 5stufige Farbreihen für 10 Bunttöne

Ausgabe: Farbmétrisches Fernseh-Licht-System TLS00

für Buntton $h^* = lab \cdot h = 35/360 = 0.097$ $LAB \cdot LCH$, $LAB \cdot NCH$

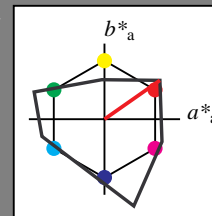
D65: Buntton O

LCH*Ma: 66 90 35

olv*Ma: 1.0 0.0 0.0

TLS00; adaptierte CIELAB-Daten

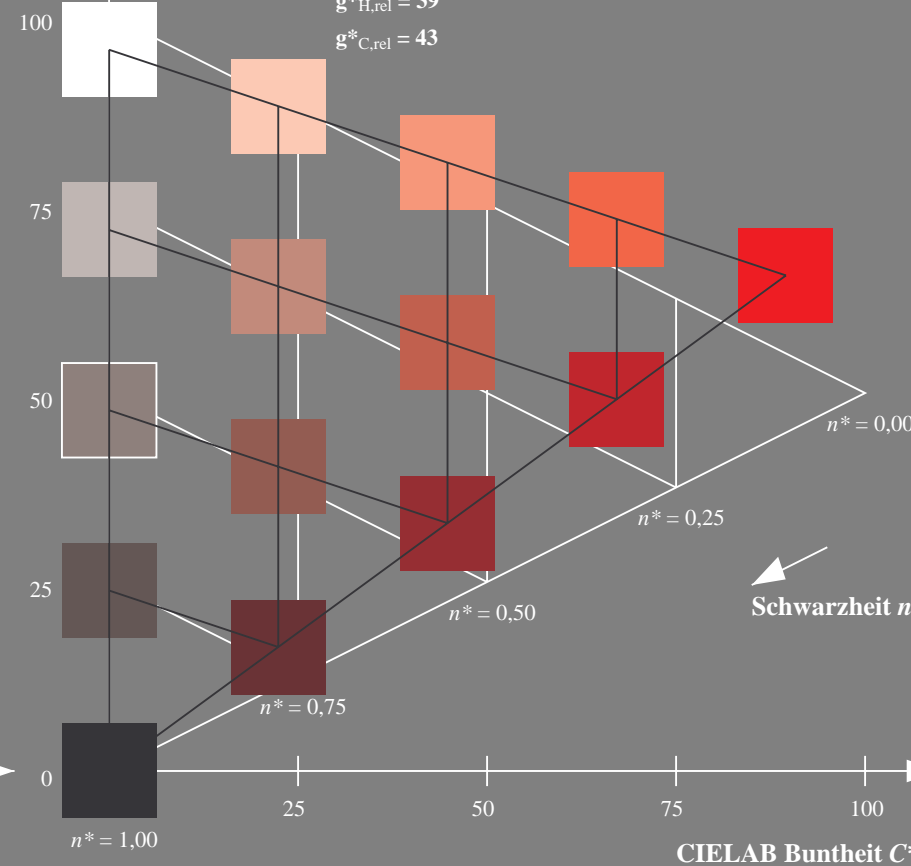
	$L^*=L^*_a$	a^*_a	b^*_a	$C^*_{ab,a}$	$h^*_{ab,a}$
O _m	65.56	73.34	51.39	89.55	35
Y _m	94.78	-3.49	52.24	52.36	94
L _m	77.48	-92.97	36.0	99.71	159
C _m	78.36	-82.69	-22.74	85.77	195
V _m	12.55	38.81	-114.81	121.2	289
M _m	66.71	76.08	-29.8	81.71	339
N _m	0.01	0.0	0.0	0.0	0
W _m	95.41	0.0	0.0	0.0	0
R _{CIE}	47.79	61.74	42.56	74.99	35
J _{CIE}	83.82	7.06	70.78	71.13	84
G _{CIE}	49.0	-35.95	4.34	36.22	173
B _{CIE}	25.14	-17.24	-56.24	58.84	253

CIELAB-Helligkeit L^*

%Umfang

 $u^*_{rel} = 141$

%Regularität

 $g^*_{H,rel} = 39$ $g^*_{C,rel} = 43$ 

5 stufige Reihen für konstanten CIELAB Buntton 35/360 = 0.097 (rechts)

output: *Startup (S) data dependend*

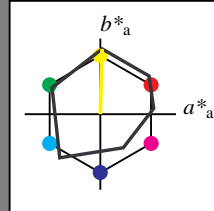
Eingabe: Farbmétrisches Offset-Reflektiv-System ORS18

für Buntton $h^* = lab^*h = 88/360 = 0.246$ lab^*tch und lab^*nch

D65: Buntton Y

LCH*Ma: 93 86 88

olv*Ma: 1.0 1.0 0.0



ORS18; adaptierte CIELAB-Daten

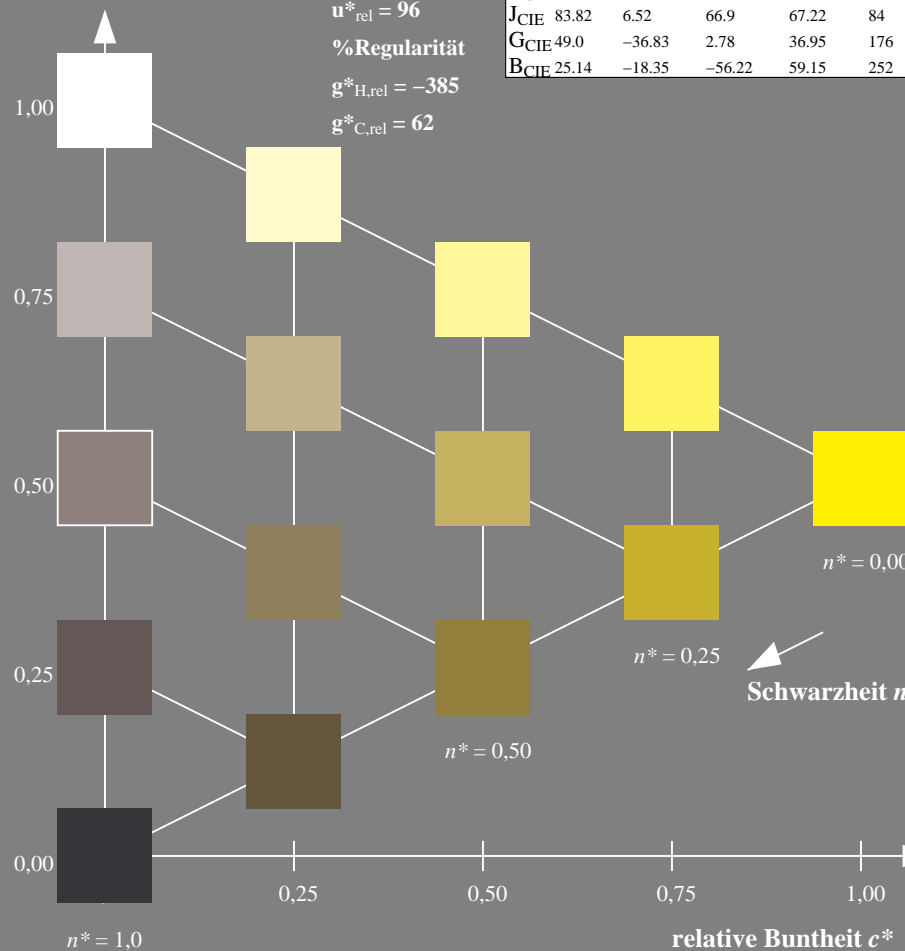
	$L^*=L^*_a$	a^*_a	b^*_a	$C^*_{ab,a}$	$h^*_{ab,a}$
O _m	47.94	64.42	50.58	81.9	38
Y _m	92.62	2.41	86.36	86.39	88
L _m	50.9	-63.82	35.02	72.81	151
C _m	51.25	-53.68	-57.69	78.82	227
V _m	25.72	30.34	-44.37	53.76	304
M _m	56.25	70.59	7.57	70.99	6
N _m	18.11	0.0	0.0	0.0	0
W _m	95.6	0.0	0.0	0.0	0
R _{CIE}	47.79	60.85	41.08	73.41	34
J _{CIE}	83.82	6.52	66.9	67.22	84
G _{CIE}	49.0	-36.83	2.78	36.95	176
B _{CIE}	25.14	-18.35	-56.22	59.15	252

Dreiecks-Helligkeit t^*

%Umfang

 $u^*_{rel} = 96$

%Regularität

 $g^*_{H,rel} = -385$ $g^*_{C,rel} = 62$ 

SG200-7, 5 stufige Reihen für konstanten CIELAB Buntton 88/360 = 0.246 (links)

BAM-Prüfvorlage SG20; Farbmétrik-Systeme ORS18 & ORS18 input: *cmY0* setcmykcolor*

A: Koordinatensysteme; 5stufige Farbreihen für 10 Bunttöne

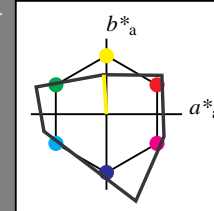
Ausgabe: Farbmétrisches Fernseh-Licht-System TLS00

für Buntton $h^* = lab^*h = 94/360 = 0.261$ LAB^*LCH, LAB^*NCH

D65: Buntton Y

LCH*Ma: 95 52 94

olv*Ma: 1.0 1.0 0.0



TLS00; adaptierte CIELAB-Daten

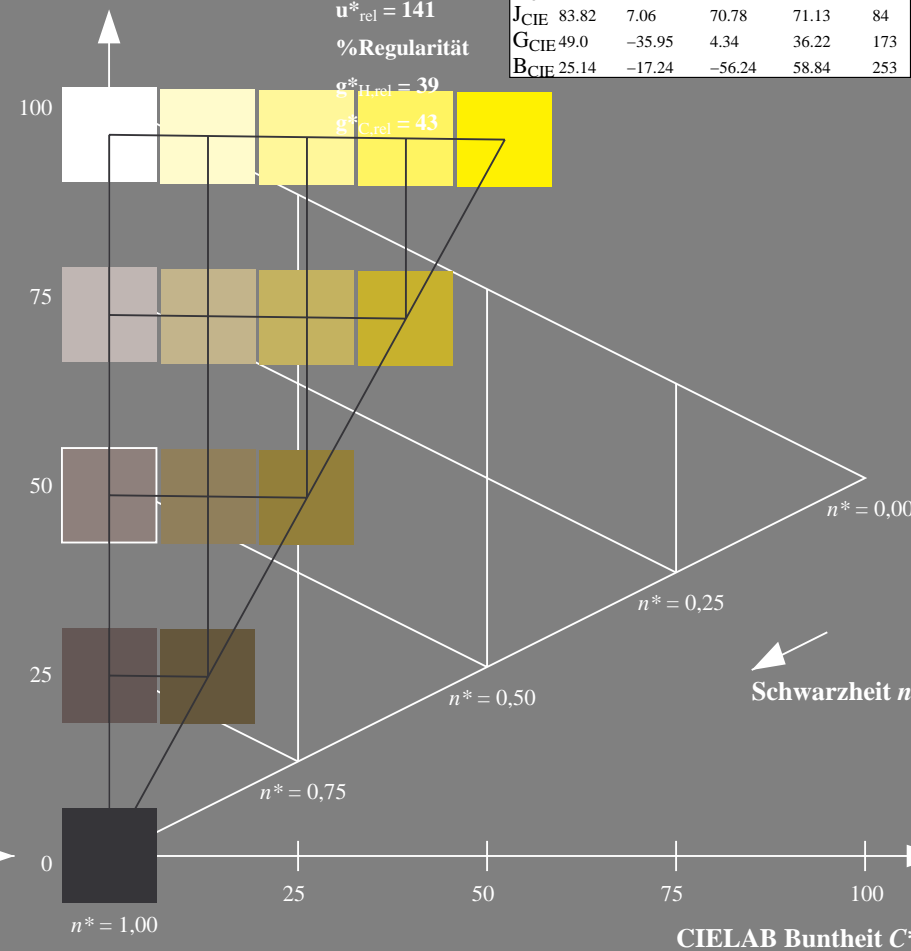
	$L^*=L^*_a$	a^*_a	b^*_a	$C^*_{ab,a}$	$h^*_{ab,a}$
O _m	65.56	73.34	51.39	89.55	35
Y _m	94.78	-3.49	52.24	52.36	94
L _m	77.48	-92.97	36.0	99.71	159
C _m	78.36	-82.69	-22.74	85.77	195
V _m	12.55	38.81	-114.81	121.2	289
M _m	66.71	76.08	-29.8	81.71	339
N _m	0.01	0.0	0.0	0.0	0
W _m	95.41	0.0	0.0	0.0	0
R _{CIE}	47.79	61.74	42.56	74.99	35
J _{CIE}	83.82	7.06	70.78	71.13	84
G _{CIE}	49.0	-35.95	4.34	36.22	173
B _{CIE}	25.14	-17.24	-56.24	58.84	253

CIELAB-Helligkeit L^*

%Umfang

 $u^*_{rel} = 141$

%Regularität

 $g^*_{H,rel} = 39$ $g^*_{C,rel} = 43$ 

5 stufige Reihen für konstanten CIELAB Buntton 94/360 = 0.261 (rechts)

output: *Startup (S) data dependend*

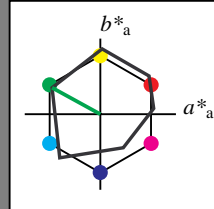
Eingabe: Farbmatisches Offset-Reflektiv-System ORS18

für Buntton $h^* = lab^*h = 151/360 = 0.42$ lab^*tch und lab^*nch

D65: Buntton L

LCH*Ma: 51 73 151

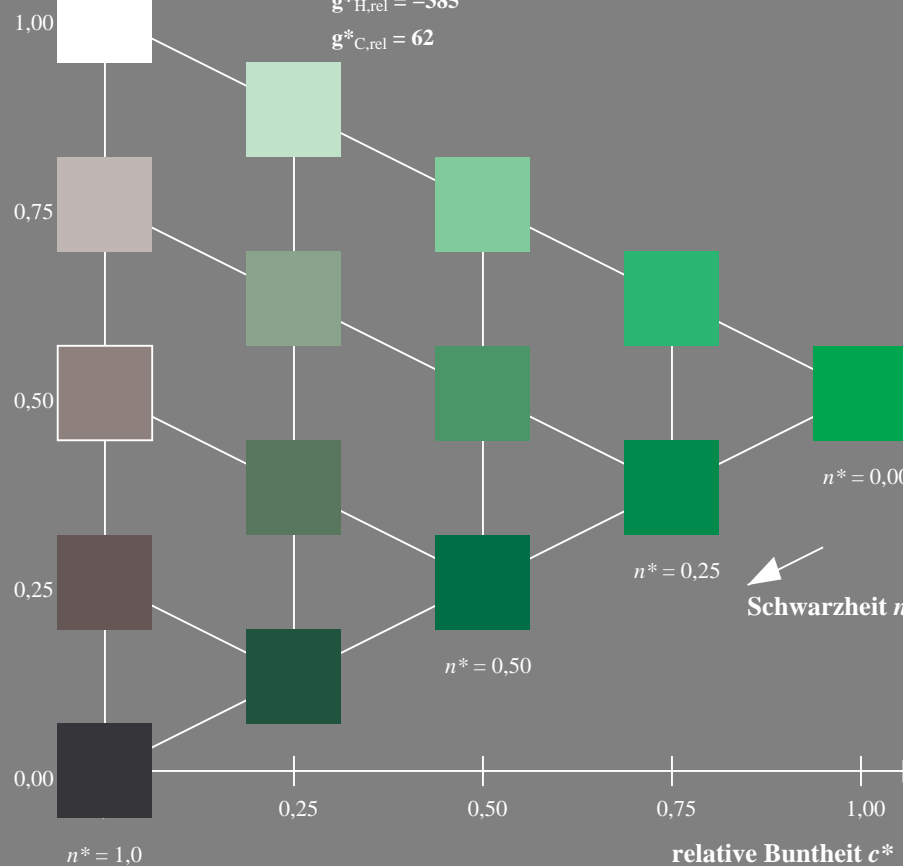
olv*Ma: 0.0 1.0 0.0

Dreiecks-Helligkeit t^*

%Umfang

 $u^*_{rel} = 96$

%Regularität

 $g^*_{H,rel} = -385$ $g^*_{C,rel} = 62$ 

SG200-7, 5 stufige Reihen für konstanten CIELAB Buntton 151/360 = 0.42 (links)

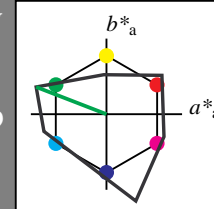
Ausgabe: Farbmatisches Fernseh-Licht-System TLS00

für Buntton $h^* = lab^*h = 159/360 = 0.441$ LAB^*LCH, LAB^*NCH

D65: Buntton L

LCH*Ma: 77 100 159

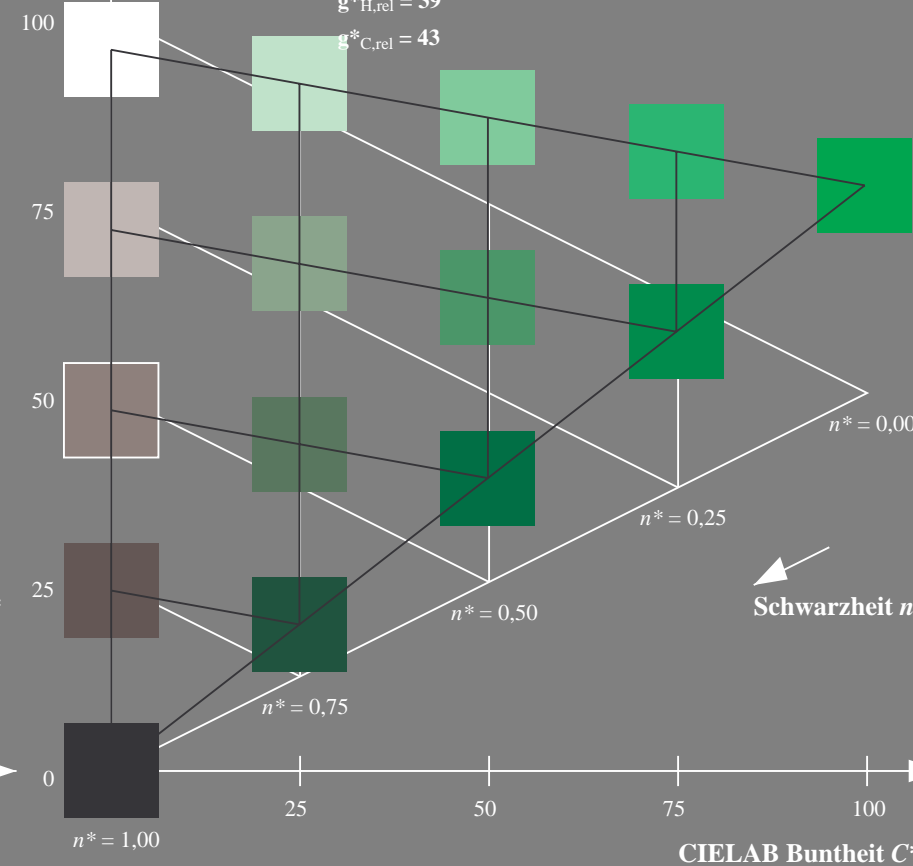
olv*Ma: 0.0 1.0 0.0

CIELAB-Helligkeit L^*

%Umfang

 $u^*_{rel} = 141$

%Regularität

 $g^*_{H,rel} = 39$ $g^*_{C,rel} = 43$ 

5 stufige Reihen für konstanten CIELAB Buntton 159/360 = 0.441 (rechts)

BAM-Prüfvorlage SG20; Farbmatrik-Systeme ORS18 & ORS18 input: $cmY0^* setcmykcolor$

A: Koordinatensysteme; 5stufige Farbreihen für 10 Bunttöne

output: Startup (S) data dependend

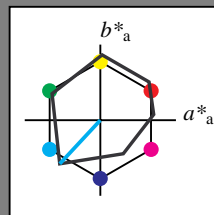
Eingabe: Farbmétrisches Offset-Reflektiv-System ORS18

für Buntton $h^* = lab^*h = 227/360 = 0.631$ lab^*tch und lab^*nch

D65: Buntton C

LCH*Ma: 51 79 227

olv*Ma: 0.0 1.0 1.0



ORS18; adaptierte CIELAB-Daten

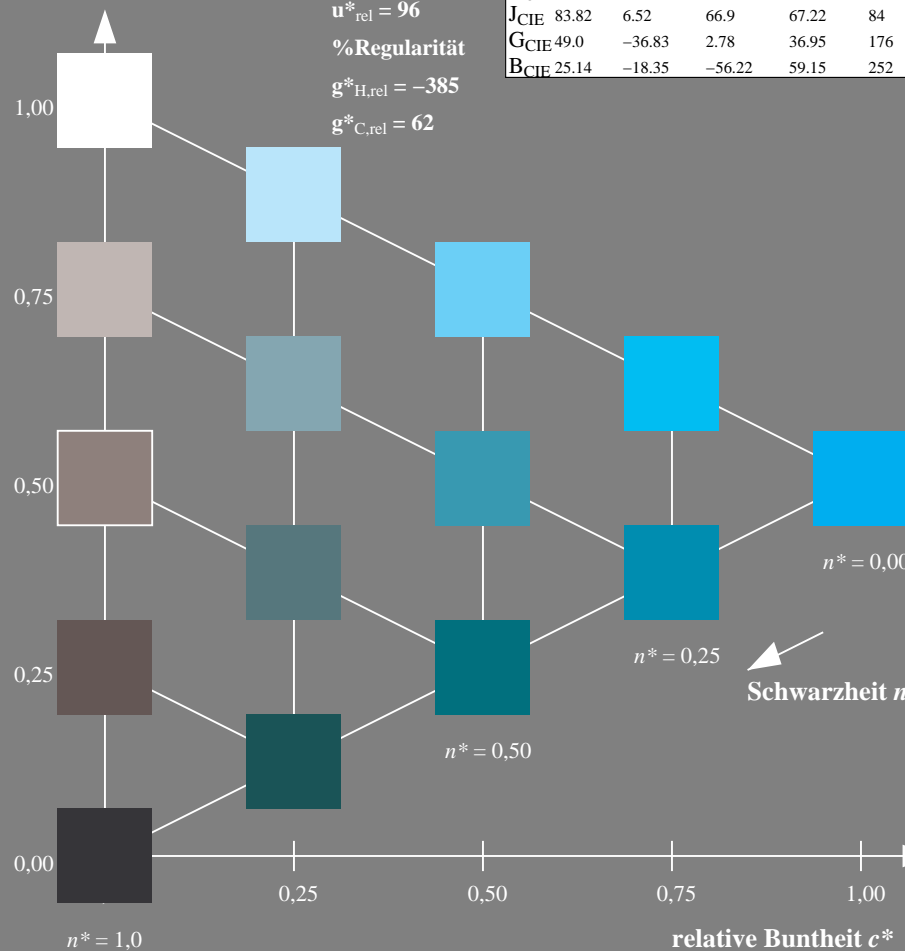
	$L^*=L^*_a$	a^*_a	b^*_a	$C^*_{ab,a}$	$h^*_{ab,a}$
O _m	47.94	64.42	50.58	81.9	38
Y _m	92.62	2.41	86.36	86.39	88
L _m	50.9	-63.82	35.02	72.81	151
C _m	51.25	-53.68	-57.69	78.82	227
V _m	25.72	30.34	-44.37	53.76	304
M _m	56.25	70.59	7.57	70.99	6
N _m	18.11	0.0	0.0	0.0	0
W _m	95.6	0.0	0.0	0.0	0
R _{CIE}	47.79	60.85	41.08	73.41	34
J _{CIE}	83.82	6.52	66.9	67.22	84
G _{CIE}	49.0	-36.83	2.78	36.95	176
B _{CIE}	25.14	-18.35	-56.22	59.15	252

Dreiecks-Helligkeit t^*

%Umfang

 $u^*_{rel} = 96$

%Regularität

 $g^*_{H,rel} = -385$ $g^*_{C,rel} = 62$ 

SG200-7, 5 stufige Reihen für konstanten CIELAB Buntton 227/360 = 0.631 (links)

BAM-Prüfvorlage SG20; Farbmétrik-Systeme ORS18 & ORS18 input: $cmY0^* setcmykcolor$

A: Koordinatensysteme; 5stufige Farbreihen für 10 Bunttöne

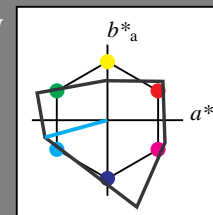
Ausgabe: Farbmétrisches Fernseh-Licht-System TLS00

für Buntton $h^* = lab^*h = 195/360 = 0.543$ LAB^*LCH, LAB^*NCH

D65: Buntton C

LCH*Ma: 78 86 195

olv*Ma: 0.0 1.0 1.0



TLS00; adaptierte CIELAB-Daten

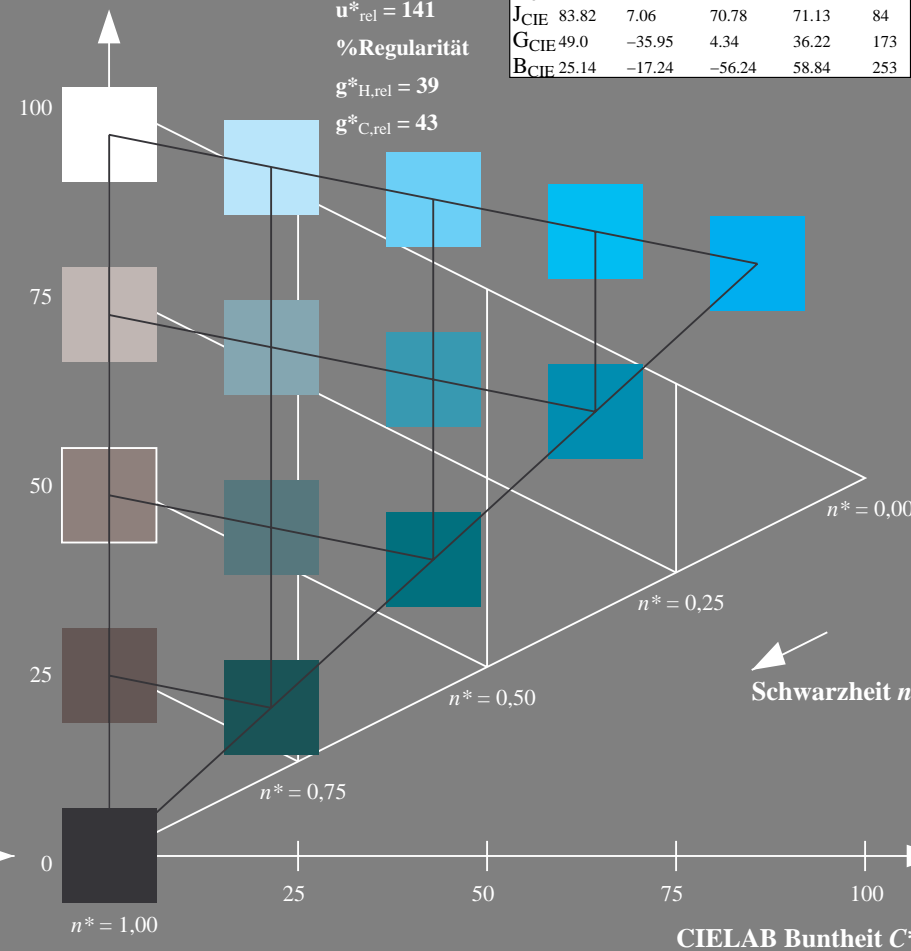
	$L^*=L^*_a$	a^*_a	b^*_a	$C^*_{ab,a}$	$h^*_{ab,a}$
O _m	65.56	73.34	51.39	89.55	35
Y _m	94.78	-3.49	52.24	52.36	94
L _m	77.48	-92.97	36.0	99.71	159
C _m	78.36	-82.69	-22.74	85.77	195
V _m	12.55	38.81	-114.81	121.2	289
M _m	66.71	76.08	-29.8	81.71	339
N _m	0.01	0.0	0.0	0.0	0
W _m	95.41	0.0	0.0	0.0	0
R _{CIE}	47.79	61.74	42.56	74.99	35
J _{CIE}	83.82	7.06	70.78	71.13	84
G _{CIE}	49.0	-35.95	4.34	36.22	173
B _{CIE}	25.14	-17.24	-56.24	58.84	253

CIELAB-Helligkeit L^*

%Umfang

 $u^*_{rel} = 141$

%Regularität

 $g^*_{H,rel} = 39$ $g^*_{C,rel} = 43$ 

5 stufige Reihen für konstanten CIELAB Buntton 195/360 = 0.543 (rechts)

output: Startup (S) data dependend

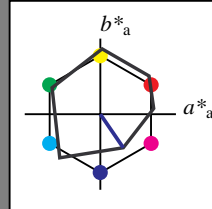
Eingabe: Farbmatisches Offset-Reflektiv-System ORS18

für Buntton $h^* = lab^*h = 304/360 = 0.845$ lab^*tch und lab^*nch

D65: Buntton V

LCH*Ma: 26 54 304

olv*Ma: 0.0 0.0 1.0



ORS18; adaptierte CIELAB-Daten

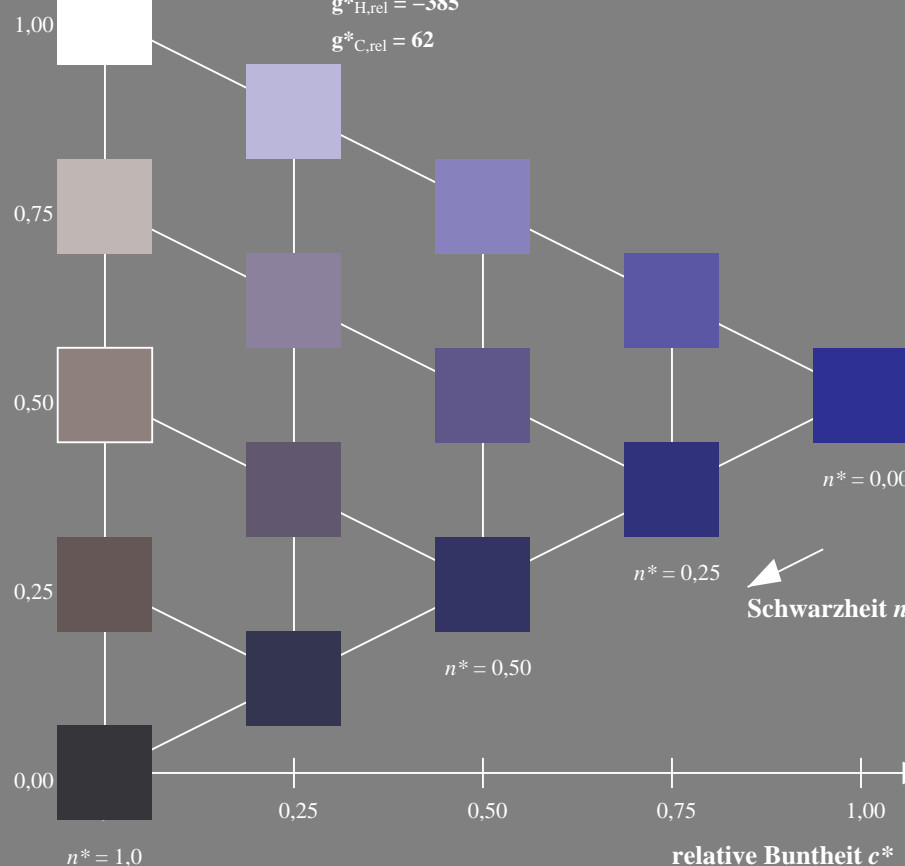
	$L^*=L^*_a$	a^*_a	b^*_a	$C^*_{ab,a}$	$h^*_{ab,a}$
O _m	47.94	64.42	50.58	81.9	38
Y _m	92.62	2.41	86.36	86.39	88
L _m	50.9	-63.82	35.02	72.81	151
C _m	51.25	-53.68	-57.69	78.82	227
V _m	25.72	30.34	-44.37	53.76	304
M _m	56.25	70.59	7.57	70.99	6
N _m	18.11	0.0	0.0	0.0	0
W _m	95.6	0.0	0.0	0.0	0
R _{CIE}	47.79	60.85	41.08	73.41	34
J _{CIE}	83.82	6.52	66.9	67.22	84
G _{CIE}	49.0	-36.83	2.78	36.95	176
B _{CIE}	25.14	-18.35	-56.22	59.15	252

Dreiecks-Helligkeit t^*

%Umfang

 $u^*_{rel} = 96$

%Regularität

 $g^*_{H,rel} = -385$ $g^*_{C,rel} = 62$ 

SG200-7, 5 stufige Reihen für konstanten CIELAB Buntton 304/360 = 0.845 (links)

BAM-Prüfvorlage SG20; Farbmatrik-Systeme ORS18 & ORS18 input: $cmY0^* setcmykcolor$

A: Koordinatensysteme; 5stufige Farbreihen für 10 Bunttöne

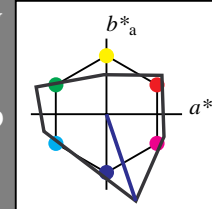
Ausgabe: Farbmatisches Fernseh-Licht-System TLS00

für Buntton $h^* = lab^*h = 289/360 = 0.802$ LAB^*LCH, LAB^*NCH

D65: Buntton V

LCH*Ma: 13 121 289

olv*Ma: 0.0 0.0 1.0



TLS00; adaptierte CIELAB-Daten

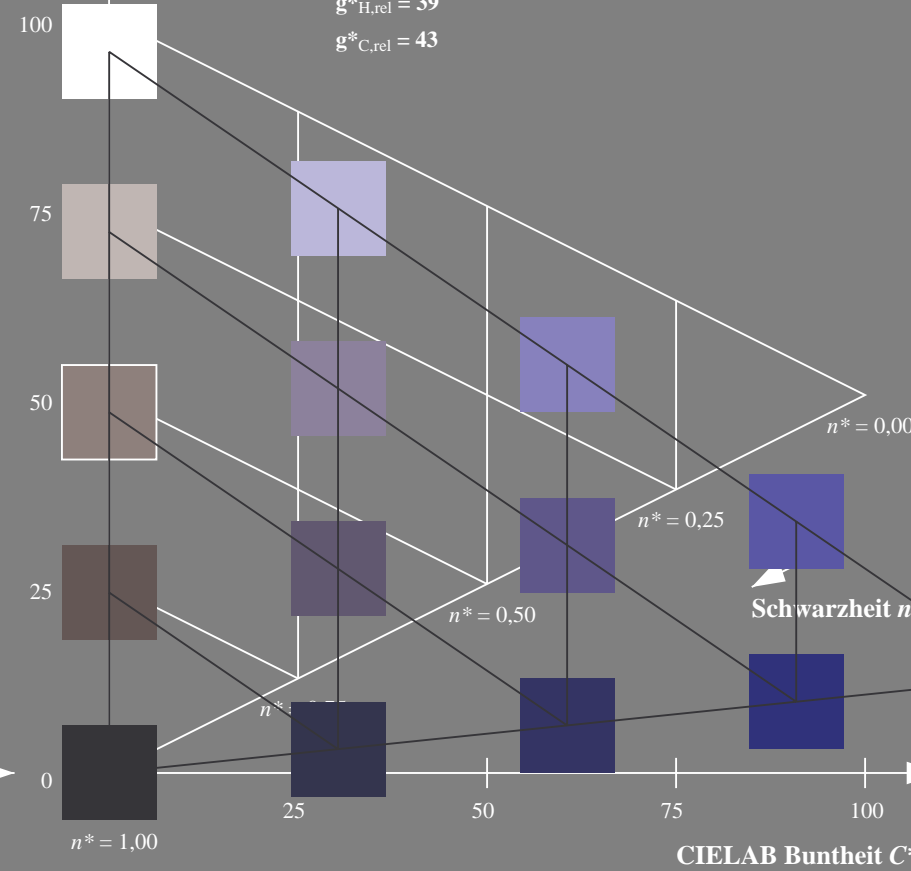
	$L^*=L^*_a$	a^*_a	b^*_a	$C^*_{ab,a}$	$h^*_{ab,a}$
O _m	65.56	73.34	51.39	89.55	35
Y _m	94.78	-3.49	52.24	52.36	94
L _m	77.48	-92.97	36.0	99.71	159
C _m	78.36	-82.69	-22.74	85.77	195
V _m	12.55	38.81	-114.81	121.2	289
M _m	66.71	76.08	-29.8	81.71	339
N _m	0.01	0.0	0.0	0.0	0
W _m	95.41	0.0	0.0	0.0	0
R _{CIE}	47.79	61.74	42.56	74.99	35
J _{CIE}	83.82	7.06	70.78	71.13	84
G _{CIE}	49.0	-35.95	4.34	36.22	173
B _{CIE}	25.14	-17.24	-56.24	58.84	253

CIELAB-Helligkeit L^*

%Umfang

 $u^*_{rel} = 141$

%Regularität

 $g^*_{H,rel} = 39$ $g^*_{C,rel} = 43$ 

5 stufige Reihen für konstanten CIELAB Buntton 289/360 = 0.802 (rechts)

output: Startup (S) data dependend

Eingabe: Farbmétrisches Offset-Reflektiv-System ORS18

für Buntton $h^* = lab \cdot h = 6/360 = 0.017$ $lab \cdot tch$ und $lab \cdot nch$

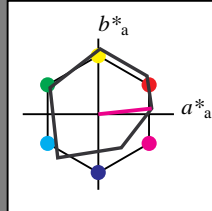
D65: Buntton M

LCH*Ma: 56 71 6

olv*Ma: 1.0 0.0 1.0

ORS18; adaptierte CIELAB-Daten

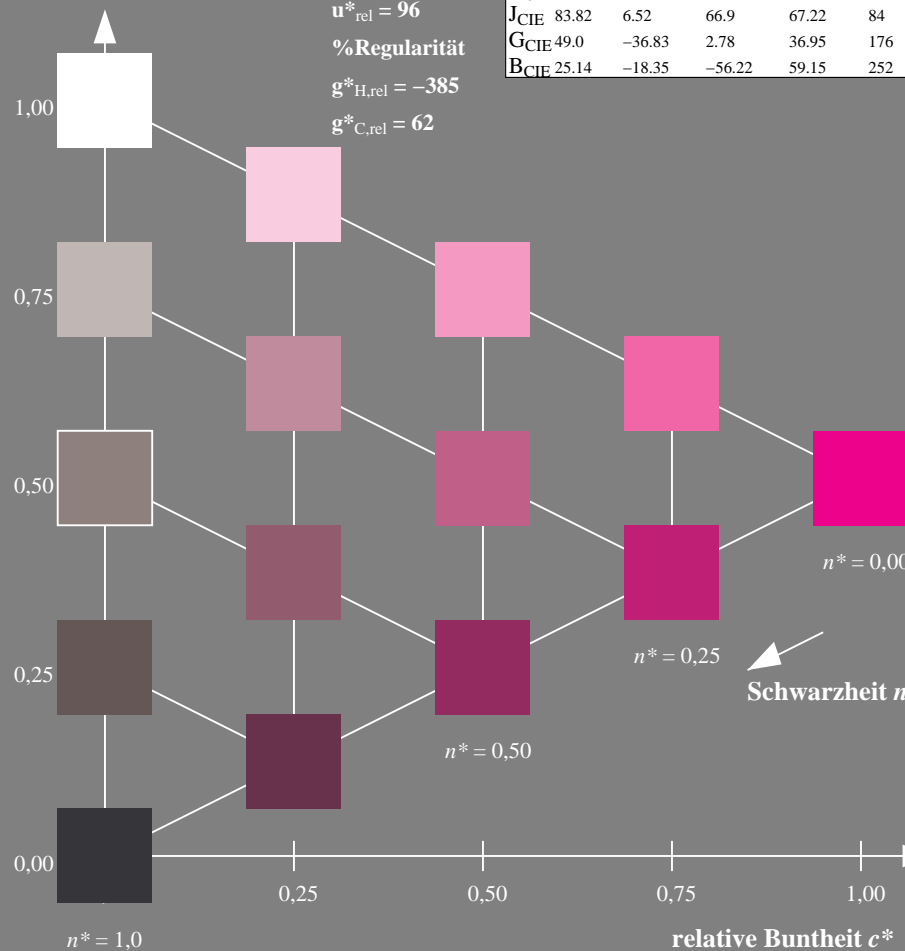
	$L^*=L_a^*$	a_a^*	b_a^*	$C_{ab,a}^*$	$h_{ab,a}^*$
O _m	47.94	64.42	50.58	81.9	38
Y _m	92.62	2.41	86.36	86.39	88
L _m	50.9	-63.82	35.02	72.81	151
C _m	51.25	-53.68	-57.69	78.82	227
V _m	25.72	30.34	-44.37	53.76	304
M _m	56.25	70.59	7.57	70.99	6
N _m	18.11	0.0	0.0	0.0	0
W _m	95.6	0.0	0.0	0.0	0
R _{CIE}	47.79	60.85	41.08	73.41	34
J _{CIE}	83.82	6.52	66.9	67.22	84
G _{CIE}	49.0	-36.83	2.78	36.95	176
B _{CIE}	25.14	-18.35	-56.22	59.15	252

Dreiecks-Helligkeit t^*

%Umfang

 $u_{rel}^* = 96$

%Regularität

 $g_{H,rel}^* = -385$ $g_{C,rel}^* = 62$ SG200-7, 5 stufige Reihen für konstanten CIELAB Buntton $6/360 = 0.017$ (links)BAM-Prüfvorlage SG20; Farbmétrik-Systeme ORS18 & ORS18 input: $cmY0^* setcmykcolor$

A: Koordinatensysteme; 5stufige Farbreihen für 10 Bunttöne

Ausgabe: Farbmétrisches Fernseh-Licht-System TLS00

für Buntton $h^* = lab \cdot h = 339/360 = 0.941$ $LAB \cdot LCH$, $LAB \cdot NCH$

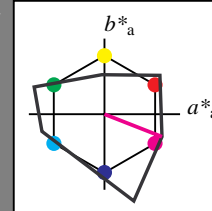
D65: Buntton M

LCH*Ma: 67 82 339

olv*Ma: 1.0 0.0 1.0

TLS00; adaptierte CIELAB-Daten

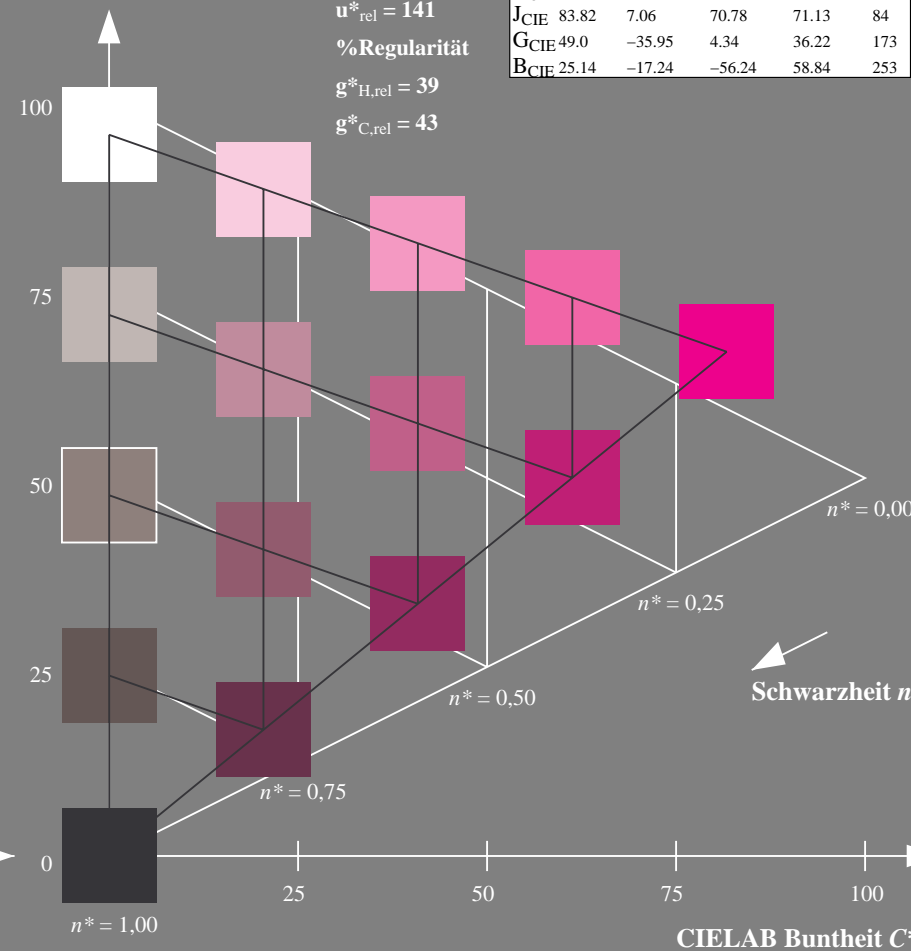
	$L^*=L_a^*$	a_a^*	b_a^*	$C_{ab,a}^*$	$h_{ab,a}^*$
O _m	65.56	73.34	51.39	89.55	35
Y _m	94.78	-3.49	52.24	52.36	94
L _m	77.48	-92.97	36.0	99.71	159
C _m	78.36	-82.69	-22.74	85.77	195
V _m	12.55	38.81	-114.81	121.2	289
M _m	66.71	76.08	-29.8	81.71	339
N _m	0.01	0.0	0.0	0.0	0
W _m	95.41	0.0	0.0	0.0	0
R _{CIE}	47.79	61.74	42.56	74.99	35
J _{CIE}	83.82	7.06	70.78	71.13	84
G _{CIE}	49.0	-35.95	4.34	36.22	173
B _{CIE}	25.14	-17.24	-56.24	58.84	253

CIELAB-Helligkeit L^*

%Umfang

 $u_{rel}^* = 141$

%Regularität

 $g_{H,rel}^* = 39$ $g_{C,rel}^* = 43$ 5 stufige Reihen für konstanten CIELAB Buntton $339/360 = 0.941$ (rechts)

output: Startup (S) data dependend

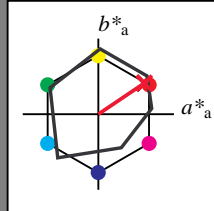
Eingabe: Farbmétrisches Offset-Reflektiv-System ORS18

für Buntton $h^* = lab \cdot h = 34/360 = 0.095$ $lab \cdot tch$ und $lab \cdot nch$

D65: Buntton R

LCH*Ma: 49 79 34

olv*Ma: 1.0 0.0 0.15



ORS18; adaptierte CIELAB-Daten

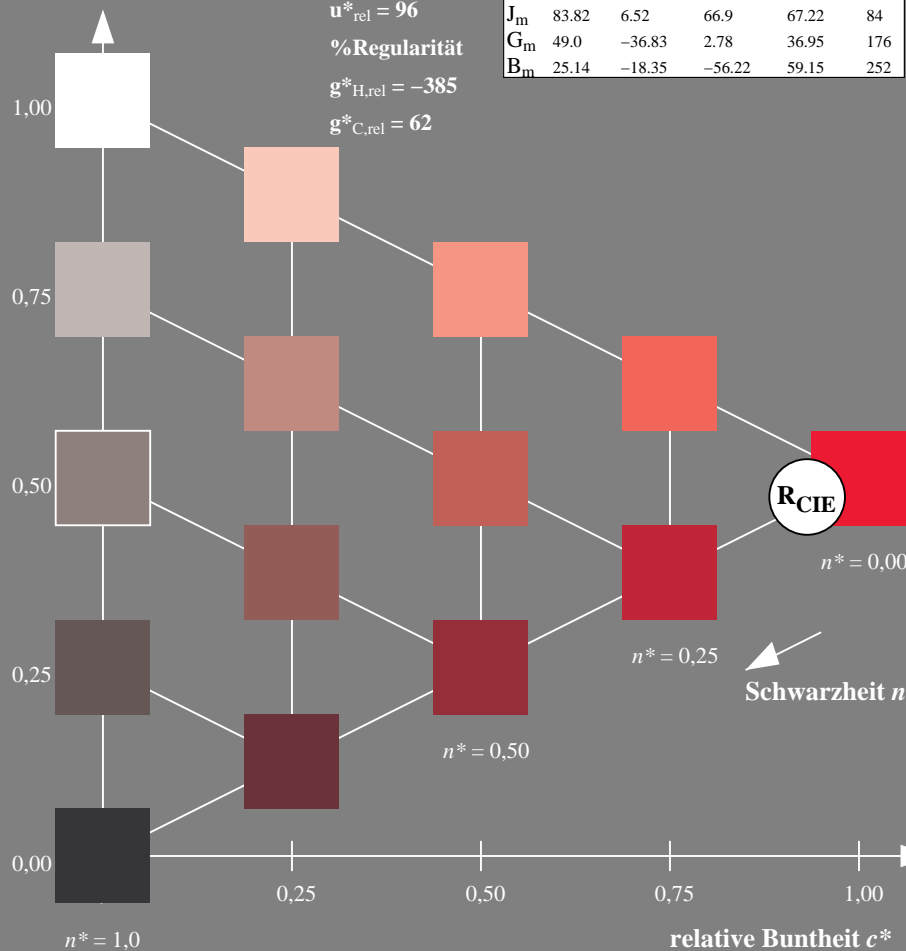
	$L^*=L^*_a$	a^*_a	b^*_a	$C^*_{ab,a}$	$h^*_{ab,a}$
O _m	47.94	64.42	50.58	81.9	38
Y _m	92.62	2.41	86.36	86.39	88
L _m	50.9	-63.82	35.02	72.81	151
C _m	51.25	-53.68	-57.69	78.82	227
V _m	25.72	30.34	-44.37	53.76	304
M _m	56.25	70.59	7.57	70.99	6
N _m	18.11	0.0	0.0	0.0	0
W _m	95.6	0.0	0.0	0.0	0
R _m	47.79	60.85	41.08	73.41	34
J _m	83.82	6.52	66.9	67.22	84
G _m	49.0	-36.83	2.78	36.95	176
B _m	25.14	-18.35	-56.22	59.15	252

Dreiecks-Helligkeit t^*

%Umfang

 $u^*_{rel} = 96$

%Regularität

 $g^*_{H,rel} = -385$ $g^*_{C,rel} = 62$ 

SG200-7, 5 stufige Reihen für konstanten CIELAB Buntton 34/360 = 0.095 (links)

BAM-Prüfvorlage SG20; Farbmétrik-Systeme ORS18 & ORS18 input: *cmY0* setcmykcolor*

A: Koordinatensysteme; 5stufige Farbreihen für 10 Bunttöne

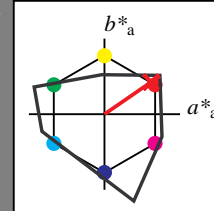
Ausgabe: Farbmétrisches Fernseh-Licht-System TLS00

für Buntton $h^* = lab \cdot h = 35/360 = 0.096$ $LAB \cdot LCH$, $LAB \cdot NCH$

D65: Buntton R

LCH*Ma: 66 89 35

olv*Ma: 1.0 0.0 0.01



TLS00; adaptierte CIELAB-Daten

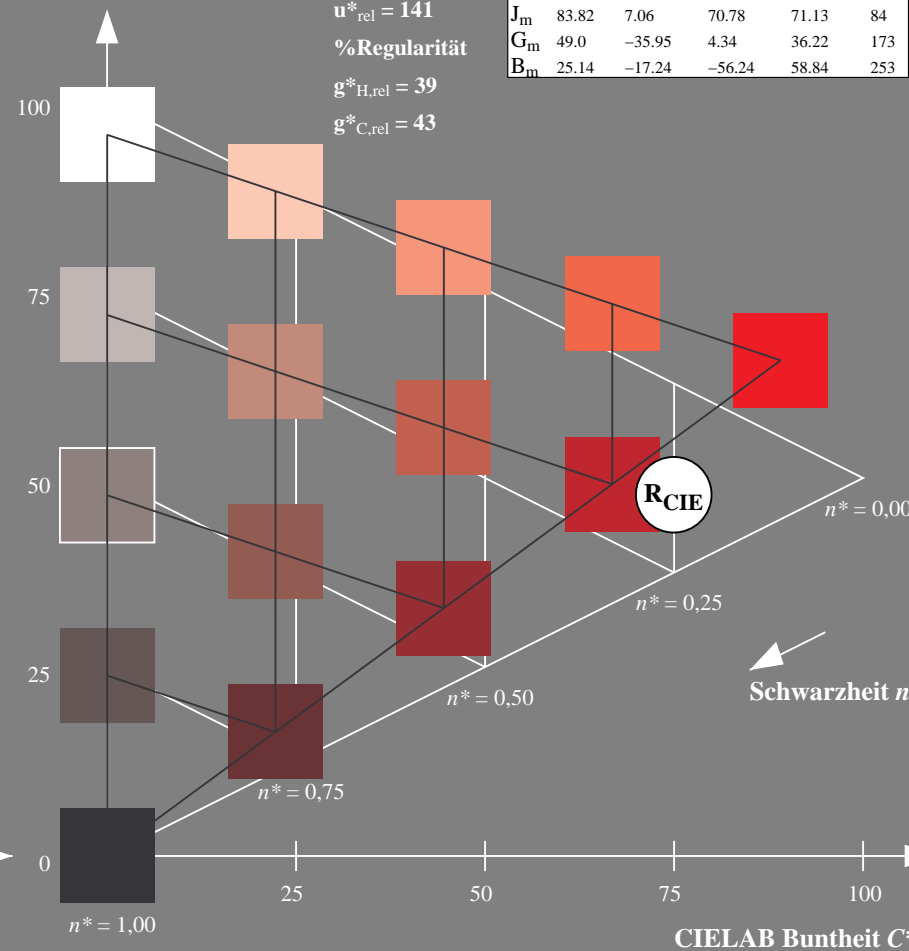
	$L^*=L^*_a$	a^*_a	b^*_a	$C^*_{ab,a}$	$h^*_{ab,a}$
O _m	65.56	73.34	51.39	89.55	35
Y _m	94.78	-3.49	52.24	52.36	94
L _m	77.48	-92.97	36.0	99.71	159
C _m	78.36	-82.69	-22.74	85.77	195
V _m	12.55	38.81	-114.81	121.2	289
M _m	66.71	76.08	-29.8	81.71	339
N _m	0.01	0.0	0.0	0.0	0
W _m	95.41	0.0	0.0	0.0	0
R _m	47.79	61.74	42.56	74.99	35
J _m	83.82	7.06	70.78	71.13	84
G _m	49.0	-35.95	4.34	36.22	173
B _m	25.14	-17.24	-56.24	58.84	253

CIELAB-Helligkeit L^*

%Umfang

 $u^*_{rel} = 141$

%Regularität

 $g^*_{H,rel} = 39$ $g^*_{C,rel} = 43$ 

5 stufige Reihen für konstanten CIELAB Buntton 35/360 = 0.096 (rechts)

output: *Startup (S) data dependend*

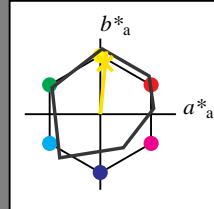
Eingabe: Farbmétrisches Offset-Reflektiv-System ORS18

für Buntton $h^* = lab^*h = 84/360 = 0.235$ lab^*tch und lab^*nch

D65: Buntton J

LCH*Ma: 89 83 84

olv*Ma: 1.0 0.91 0.0

Dreiecks-Helligkeit t^* 

%Umfang

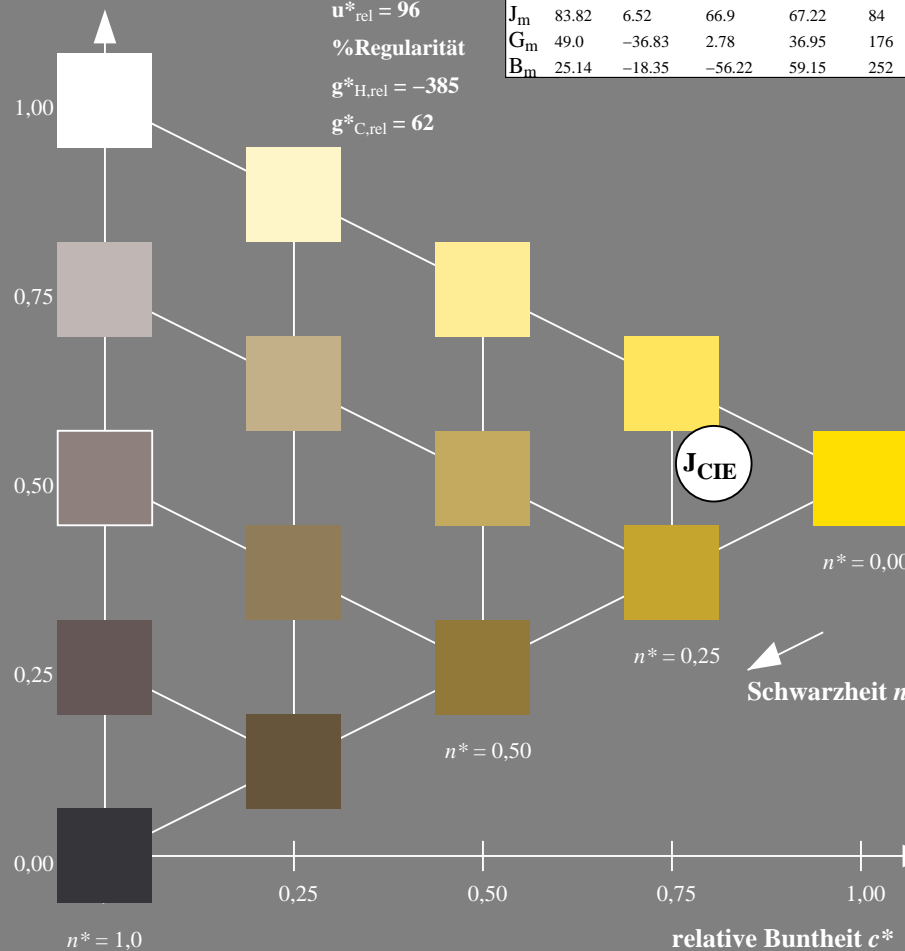
 $u^*_{rel} = 96$

%Regularität

 $g^*_{H,rel} = -385$ $g^*_{C,rel} = 62$

ORS18; adaptierte CIELAB-Daten

	$L^*=L^*_a$	a^*_a	b^*_a	$C^*_{ab,a}$	$h^*_{ab,a}$
O _m	47.94	64.42	50.58	81.9	38
Y _m	92.62	2.41	86.36	86.39	88
L _m	50.9	-63.82	35.02	72.81	151
C _m	51.25	-53.68	-57.69	78.82	227
V _m	25.72	30.34	-44.37	53.76	304
M _m	56.25	70.59	7.57	70.99	6
N _m	18.11	0.0	0.0	0.0	0
W _m	95.6	0.0	0.0	0.0	0
R _m	47.79	60.85	41.08	73.41	34
J _m	83.82	6.52	66.9	67.22	84
G _m	49.0	-36.83	2.78	36.95	176
B _m	25.14	-18.35	-56.22	59.15	252



SG200-7, 5 stufige Reihen für konstanten CIELAB Buntton 84/360 = 0.235 (links)

BAM-Prüfvorlage SG20; Farbmétrik-Systeme ORS18 & ORS18 input: *cmv0* setcmykcolor*

A: Koordinatensysteme; 5stufige Farbreihen für 10 Bunttöne

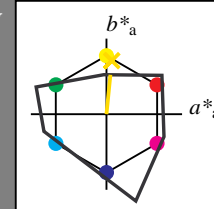
Ausgabe: Farbmétrisches Fernseh-Licht-System TLS00

für Buntton $h^* = lab^*h = 84/360 = 0.234$ LAB^*LCH , LAB^*NCH

D65: Buntton J

LCH*Ma: 91 52 84

olv*Ma: 1.0 0.89 0.0

CIELAB-Helligkeit L^* 

%Umfang

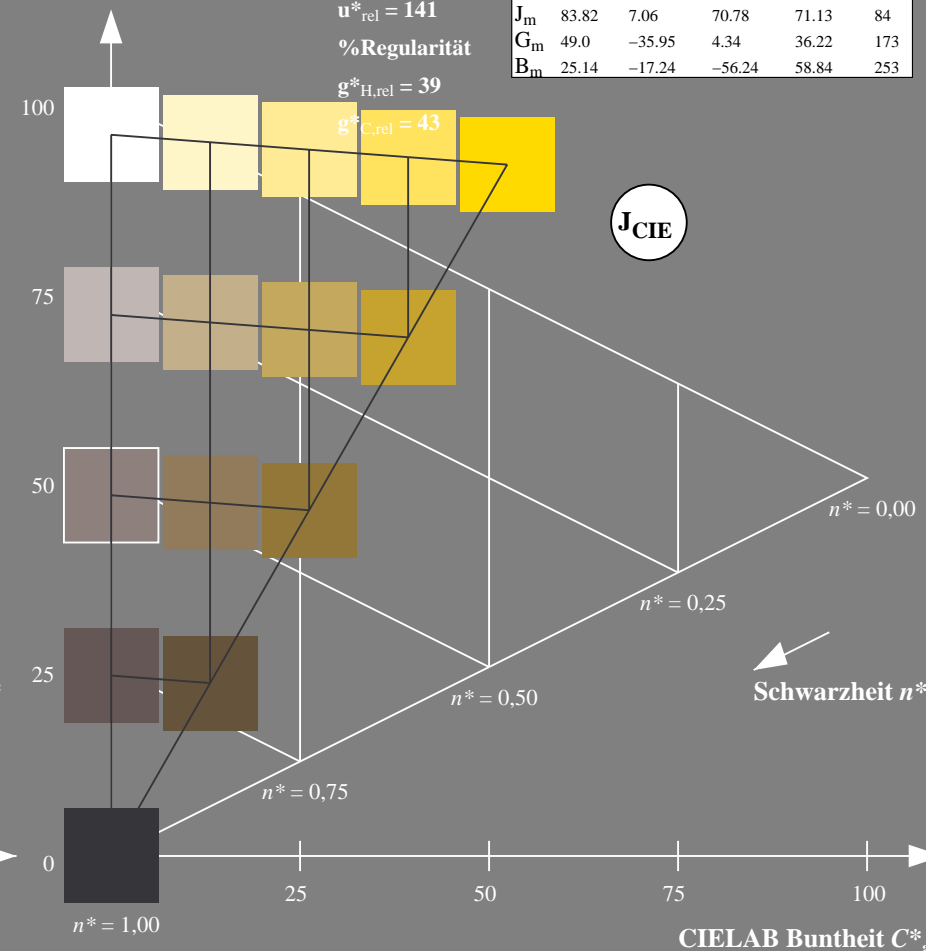
 $u^*_{rel} = 141$

%Regularität

 $g^*_{H,rel} = 39$ $g^*_{C,rel} = 43$

TLS00; adaptierte CIELAB-Daten

	$L^*=L^*_a$	a^*_a	b^*_a	$C^*_{ab,a}$	$h^*_{ab,a}$
O _m	65.56	73.34	51.39	89.55	35
Y _m	94.78	-3.49	52.24	52.36	94
L _m	77.48	-92.97	36.0	99.71	159
C _m	78.36	-82.69	-22.74	85.77	195
V _m	12.55	38.81	-114.81	121.2	289
M _m	66.71	76.08	-29.8	81.71	339
N _m	0.01	0.0	0.0	0.0	0
W _m	95.41	0.0	0.0	0.0	0
R _m	47.79	61.74	42.56	74.99	35
J _m	83.82	7.06	70.78	71.13	84
G _m	49.0	-35.95	4.34	36.22	173
B _m	25.14	-17.24	-56.24	58.84	253



5 stufige Reihen für konstanten CIELAB Buntton 84/360 = 0.234 (rechts)

output: *Startup (S) data dependend*

Eingabe: Farbmétrisches Offset-Reflektiv-System ORS18

für Buntton $h^* = lab \cdot h = 176/360 = 0,488$ $lab \cdot tch$ und $lab \cdot nch$

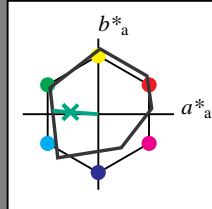
D65: Buntton G

LCH*Ma: 51 61 176

olv*Ma: 0.0 1.0 0.33

ORS18; adaptierte CIELAB-Daten

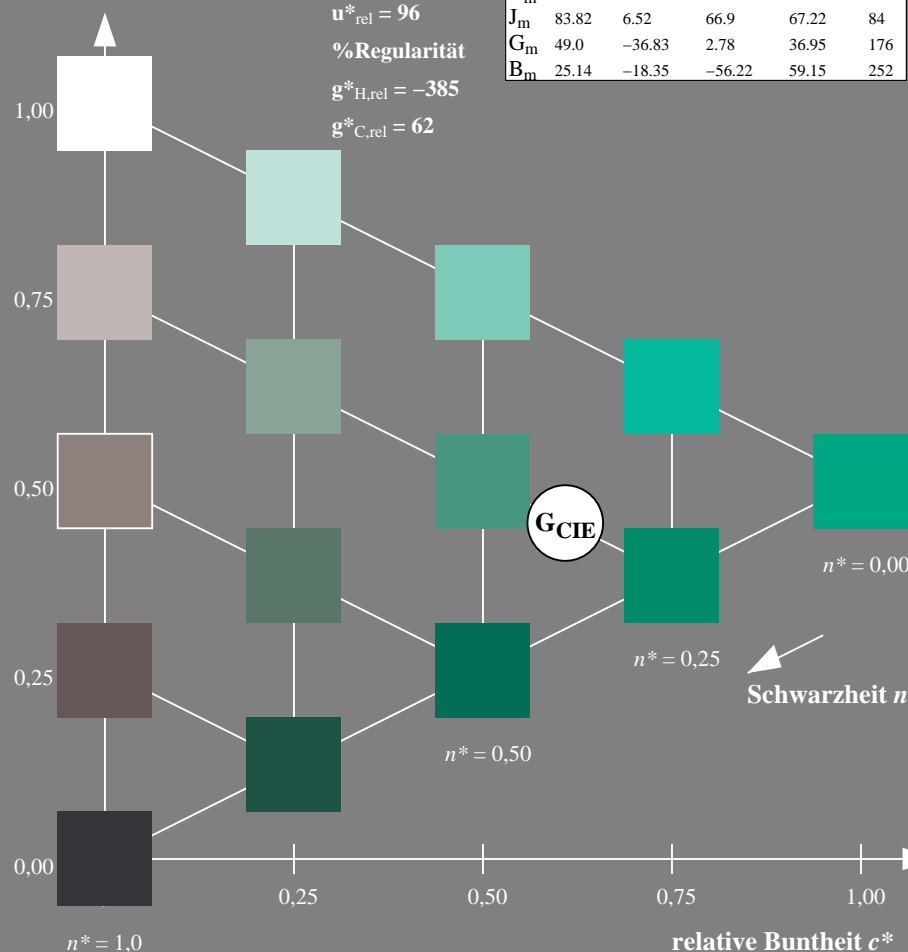
	$L^*=L^*_a$	a^*_a	b^*_a	$C^*_{ab,a}$	$h^*_{ab,a}$
O _m	47.94	64.42	50.58	81.9	38
Y _m	92.62	2.41	86.36	86.39	88
L _m	50.9	-63.82	35.02	72.81	151
C _m	51.25	-53.68	-57.69	78.82	227
V _m	25.72	30.34	-44.37	53.76	304
M _m	56.25	70.59	7.57	70.99	6
N _m	18.11	0.0	0.0	0.0	0
W _m	95.6	0.0	0.0	0.0	0
R _m	47.79	60.85	41.08	73.41	34
J _m	83.82	6.52	66.9	67.22	84
G _m	49.0	-36.83	2.78	36.95	176
B _m	25.14	-18.35	-56.22	59.15	252

Dreiecks-Helligkeit t^*

%Umfang

 $u^*_{rel} = 96$

%Regularität

 $g^*_{H,rel} = -385$ $g^*_{C,rel} = 62$ SG200-7, 5 stufige Reihen für konstanten CIELAB Buntton $176/360 = 0,488$ (links)BAM-Prüfvorlage SG20; Farbmétrik-Systeme ORS18 & ORS18 input: *cmY0* setcmykcolor*

A: Koordinatensysteme; 5stufige Farbreihen für 10 Bunttöne

Ausgabe: Farbmétrisches Fernseh-Licht-System TLS00

für Buntton $h^* = lab \cdot h = 173/360 = 0,481$ $LAB \cdot LCH$, $LAB \cdot NCH$

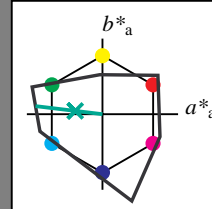
D65: Buntton G

LCH*Ma: 78 89 173

olv*Ma: 0.0 1.0 0.43

TLS00; adaptierte CIELAB-Daten

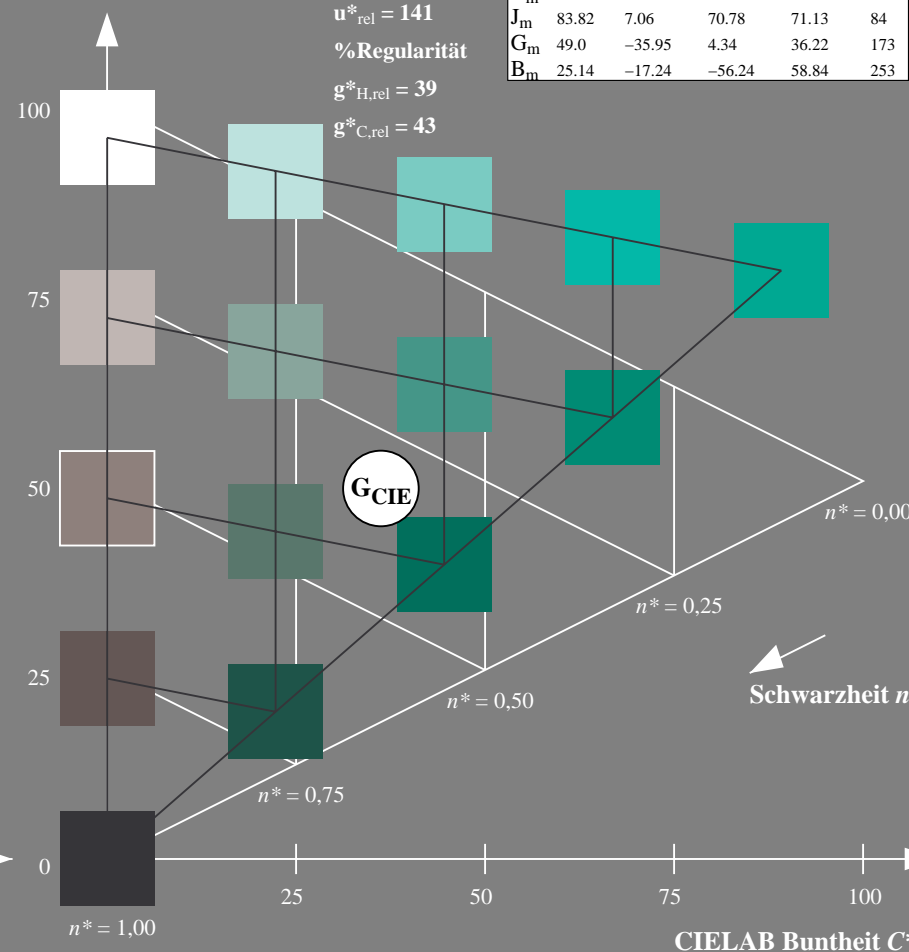
	$L^*=L^*_a$	a^*_a	b^*_a	$C^*_{ab,a}$	$h^*_{ab,a}$
O _m	65.56	73.34	51.39	89.55	35
Y _m	94.78	-3.49	52.24	52.36	94
L _m	77.48	-92.97	36.0	99.71	159
C _m	78.36	-82.69	-22.74	85.77	195
V _m	12.55	38.81	-114.81	121.2	289
M _m	66.71	76.08	-29.8	81.71	339
N _m	0.01	0.0	0.0	0.0	0
W _m	95.41	0.0	0.0	0.0	0
R _m	47.79	61.74	42.56	74.99	35
J _m	83.82	7.06	70.78	71.13	84
G _m	49.0	-35.95	4.34	36.22	173
B _m	25.14	-17.24	-56.24	58.84	253

CIELAB-Helligkeit L^*

%Umfang

 $u^*_{rel} = 141$

%Regularität

 $g^*_{H,rel} = 39$ $g^*_{C,rel} = 43$ 5 stufige Reihen für konstanten CIELAB Buntton $173/360 = 0,481$ (rechts)output: *Startup (S) data dependend*

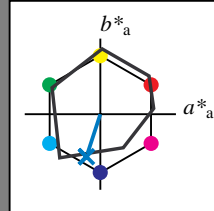
Eingabe: Farbmétrisches Offset-Reflektiv-System ORS18

für Buntton $h^* = lab^*h = 252/360 = 0,7$ lab^*tch und lab^*nch

D65: Buntton B

LCH*Ma: 40 55 252

olv*Ma: 0.0 0.56 1.0

Dreiecks-Helligkeit t^* 

%Umfang

 $u^*_{rel} = 96$

%Regularität

 $g^*_{H,rel} = -385$ $g^*_{C,rel} = 62$

ORS18; adaptierte CIELAB-Daten

	$L^*=L^*_a$	a^*_a	b^*_a	$C^*_{ab,a}$	$h^*_{ab,a}$
O _m	47.94	64.42	50.58	81.9	38
Y _m	92.62	2.41	86.36	86.39	88
L _m	50.9	-63.82	35.02	72.81	151
C _m	51.25	-53.68	-57.69	78.82	227
V _m	25.72	30.34	-44.37	53.76	304
M _m	56.25	70.59	7.57	70.99	6
N _m	18.11	0.0	0.0	0.0	0
W _m	95.6	0.0	0.0	0.0	0
R _m	47.79	60.85	41.08	73.41	34
J _m	83.82	6.52	66.9	67.22	84
G _m	49.0	-36.83	2.78	36.95	176
B _m	25.14	-18.35	-56.22	59.15	252

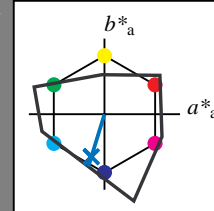
Ausgabe: Farbmétrisches Fernseh-Licht-System TLS00

für Buntton $h^* = lab^*h = 253/360 = 0,703$ LAB^*LCH, LAB^*NCH

D65: Buntton B

LCH*Ma: 45 72 253

olv*Ma: 0.0 0.49 1.0

CIELAB-Helligkeit L^* 

%Umfang

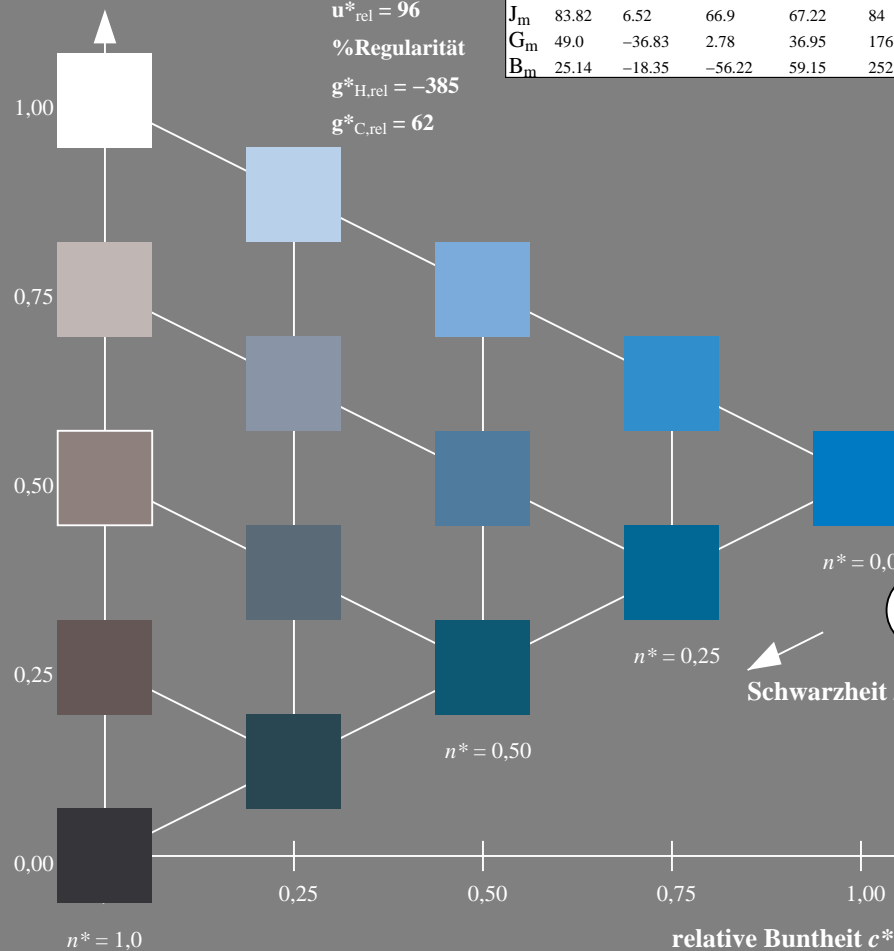
 $u^*_{rel} = 141$

%Regularität

 $g^*_{H,rel} = 39$ $g^*_{C,rel} = 43$

TLS00; adaptierte CIELAB-Daten

	$L^*=L^*_a$	a^*_a	b^*_a	$C^*_{ab,a}$	$h^*_{ab,a}$
O _m	65.56	73.34	51.39	89.55	35
Y _m	94.78	-3.49	52.24	52.36	94
L _m	77.48	-92.97	36.0	99.71	159
C _m	78.36	-82.69	-22.74	85.77	195
V _m	12.55	38.81	-114.81	121.2	289
M _m	66.71	76.08	-29.8	81.71	339
N _m	0.01	0.0	0.0	0.0	0
W _m	95.41	0.0	0.0	0.0	0
R _m	47.79	61.74	42.56	74.99	35
J _m	83.82	7.06	70.78	71.13	84
G _m	49.0	-35.95	4.34	36.22	173
B _m	25.14	-17.24	-56.24	58.84	253



SG200-7, 5 stufige Reihen für konstanten CIELAB Buntton 252/360 = 0.7 (links)

BAM-Prüfvorlage SG20; Farbmétrik-Systeme ORS18 & ORS18 input: $cmY0^* setcmykcolor$

A: Koordinatensysteme; 5stufige Farbreihen für 10 Bunttöne

5 stufige Reihen für konstanten CIELAB Buntton 253/360 = 0.703 (rechts)

output: Startup (S) data dependend